

# Zur Bemessung einstufiger Axialgeräte

Autor(en): **Grossmann, K.H.**

Objektyp: **Article**

Zeitschrift: **Schweizerische Bauzeitung**

Band (Jahr): **107/108 (1936)**

Heft 16

PDF erstellt am: **22.09.2024**

Persistenter Link: <https://doi.org/10.5169/seals-48389>

## **Nutzungsbedingungen**

Die ETH-Bibliothek ist Anbieterin der digitalisierten Zeitschriften. Sie besitzt keine Urheberrechte an den Inhalten der Zeitschriften. Die Rechte liegen in der Regel bei den Herausgebern. Die auf der Plattform e-periodica veröffentlichten Dokumente stehen für nicht-kommerzielle Zwecke in Lehre und Forschung sowie für die private Nutzung frei zur Verfügung. Einzelne Dateien oder Ausdrucke aus diesem Angebot können zusammen mit diesen Nutzungsbedingungen und den korrekten Herkunftsbezeichnungen weitergegeben werden. Das Veröffentlichen von Bildern in Print- und Online-Publikationen ist nur mit vorheriger Genehmigung der Rechteinhaber erlaubt. Die systematische Speicherung von Teilen des elektronischen Angebots auf anderen Servern bedarf ebenfalls des schriftlichen Einverständnisses der Rechteinhaber.

## **Haftungsausschluss**

Alle Angaben erfolgen ohne Gewähr für Vollständigkeit oder Richtigkeit. Es wird keine Haftung übernommen für Schäden durch die Verwendung von Informationen aus diesem Online-Angebot oder durch das Fehlen von Informationen. Dies gilt auch für Inhalte Dritter, die über dieses Angebot zugänglich sind.

INHALT: Zur Bemessung einstufiger Axialgebläse — Die Anwendung der Stereophotogrammetrie bei Architekturaufnahmen — «Novadom», eine neue Backstein-Bauweise. — Mitteilungen: Die 11. Tagung des Ausschusses für Wärmeforschung. Fortschritte der Baugrunduntersuchungen. Die schweizerischen Bausparkassen. Elektrowärmeschutz. Staudämme mit Dichtung aus Stahl. Hundertjahrfeier der Sektion Bern des S. I. A.

Eidg. Techn. Hochschule. Die Elektrifikation der Pilatusbahn. Eidg. Wehranleihe. Das neue Feuerwehrgebäude in Bern. — Nekrologe: Wilhelm Petry. Edouard Savary. — Wettbewerbe: Alter- und Fürsorgeheim der Amteien Olten-Gösgen-Balsthal-Thal auf dem Ruttigerhof bei Olten. Reitbahn in Olten. — Literatur. — Mitteilungen der Vereine. — Sitzungs- und Vortrags-Kalender.

Band 108

Der S. I. A. ist für den Inhalt des redaktionellen Teils seiner Vereinsorgane nicht verantwortlich. Nachdruck von Text oder Abbildungen ist nur mit Zustimmung der Redaktion und nur mit genauer Quellenangabe gestattet.

Nr. 16

### Zur Bemessung einstufiger Axialgebläse

Dank der vereinfachten Theorie der Axialgebläse, wie sie in der Dissertation von Curt Keller<sup>1)</sup> dargelegt ist, lässt sich an dem Beispiel dieser Maschine besonders gut erläutern, wie man bei solchen der Rechnung zugänglichen Konstruktionsaufgaben dann vorgehen kann, wenn es sich — etwa beim Entwurf einer neuen Maschinenserie — lohnt, das im Einzelfall vielleicht raschere, auf die Dauer aber mehr Zeit raubende Probieren durch eine Methode zu ersetzen. Zur Fixierung der Vorstellung diene die den Aufbau und den Druckverlauf im Gebläse darstellende Abb. 1<sup>2)</sup>. An dem Flügelschnitt Abb. 2<sup>3)</sup> zeigt sich schon die Hauptvereinfachung der Theorie: Die koaxialen Zylinderflächen, längs denen das Gas im Leit- und Laufrad strömt, werden aufgewickelt, und statt der wirklichen Bewegung des Gases das rektifizierte Strömungsbild betrachtet.

1. *Der Druckanstieg.* In Abb. 2 ist  $\varepsilon$  der Gleitwinkel,  $\beta_\infty$  der Winkel zwischen der mittleren relativen Anströmgeschwindigkeit  $w_\infty$  und der Umfangsrichtung. Das Verhältnis  $\cot(\beta_\infty + \varepsilon)$  der Vertikalkomponente  $dS$  zur Horizontalkomponente  $dT$  der vom Gas auf ein Flügелеlement von der Breite  $dr$  ausgeübten Kraft  $dR$  ist, wie der Impulsatz für die in dem Volumen  $ABCD$  von der Breite  $dr$  eingeschlossene Gasmasse lehrt, gleich dem Verhältnis des Druckanstiegs  $\Delta p_t$  im Laufrad zur horizontalen Impulsänderung  $\rho c_m \Delta c_u$  ( $\rho$  = Gasdichte,  $\Delta c_u$  = Geschwindigkeitsumlenkung,  $c_m$  = axiale Durchtrittsgeschwindigkeit):

$$\Delta p_{t,r} = \rho c_m \Delta c_{u,r} \cot(\beta_{\infty,r} + \varepsilon).$$

Der Index  $r$  deutet an, dass die betreffenden Größen sich mit dem Abstand  $r$  von der Radaxe ändern<sup>3)</sup>. Eine erste Approximation erhält man bei Vernachlässigung der Radreibung:  $\varepsilon = 0$ ,  $\cot \beta_{\infty,r} = (u_r + \Delta c_{u,r}/2)/c_m$  (Abb. 2,  $u_r$  = Umfangsgeschwindigkeit im Radius  $r$ );

$$\Delta p_{t,r} \approx \rho \Delta c_{u,r} (u_r + \Delta c_{u,r}/2).$$

<sup>1)</sup> „Axialgebläse vom Standpunkt der Tragflügeltheorie“, Zürich 1934. Mitteilung des Instituts für Aerodynamik an der E. T. H.

<sup>2)</sup> Diese Abbildungen entstammen (mit geringfügigen Abänderungen) der erwähnten Dissertation, ebenso Abb. 7.

<sup>3)</sup> Für das in Wirklichkeit gleichfalls variable  $\varepsilon$  wird der Einfachheit halber ein fester Mittelwert angenommen.

Von diesem Wert unterscheidet sich der Stufendruckanstieg  $\Delta p_{st}^*$  im reibungslosen Idealfall um den Druckverlust im Leitrad  $\rho \Delta c_{u,r}^2/2$ :

$$\Delta p_{st}^* = \rho u_r \Delta c_{u,r} \dots \dots \dots (1)$$

Soll der Stufendruckanstieg über dem ganzen Rad der selbe sein, so muss somit die Geschwindigkeitsumlenkung  $\Delta c_{u,r}$  umgekehrt proportional mit dem Abstand von der Radaxe variieren. Diese von Leonhard Euler stammende Bedingung wird mit Einführung der Zirkulation  $\Gamma$  der Relativströmung um einen Flügel, z. B. längs des Weges  $CDAB$  —

$$\Gamma = t_r (w_{1u} - w_{2u})_r = t_r \Delta c_{u,r} \dots \dots \dots (2)$$

( $t = 2\pi r/z$  = Gitterteilung,  $z$  = Flügelzahl):

$$\Delta p_{st}^* = \rho u_r \frac{\Gamma}{t_r} = \rho n \Gamma z \dots \dots \dots (3)$$

( $n$  = sekundliche Drehzahl). Die Euler'sche Vorschrift besagt also, dass längs des Flügels die Zirkulation konstant sein soll. Der Stufendruckanstieg ist ausser der Drehzahl dem Produkt aus Zirkulation und Flügelzahl proportional. Nach der Tragflügeltheorie von Kutta-Jukowski hängt die Zirkulation mit der mittleren Anströmgeschwindigkeit  $w_\infty$ , der Flügeltiefe  $l$  und dem Auftriebskoeffizienten  $c_a$  so zusammen:

$$\Gamma = \frac{c_a r}{2} l_r w_{\infty,r} \dots \dots \dots (4)$$

womit die Euler'sche Bedingung folgende Form erhält:

$$(c_a l)_r = \frac{2 \Delta p_{st}^*}{\rho n z} \frac{1}{w_{\infty,r}} \dots \dots \dots (5)$$

Mit besserer Genauigkeit ist  $\cot(\beta_\infty + \varepsilon) =$

$\cot \beta_\infty - \frac{\varepsilon}{\sin^2 \beta_\infty}$ . Vernachlässigt man  $\Delta c_{u,r}/2$  neben  $u_r$  und ersetzt  $\sin \beta_\infty$  wegen der Kleinheit von  $\beta_\infty$  durch  $\tan \beta_\infty$ , so erhält man mit der Abkürzung  $\varphi_r = c_m/u_r$  und bei Einführung des Liefergrades  $\varphi = c_m/u$  ( $u$  = Umfangsgeschwindigkeit) wegen  $r\varphi_r = r_s \cdot \varphi$  ( $r_s$  = Laufradradius):

$$\cot(\beta_{\infty,r} + \varepsilon) \approx \frac{1}{\varphi_r} \left(1 - \frac{\varepsilon}{\varphi_r}\right),$$

und

$$\Delta p_{st,r} \approx \Delta p_{t,r} = \rho c_m \Delta c_{u,r} \frac{1 - \varepsilon/\varphi_r}{\varphi_r} = \Delta p_{st}^* \left(1 - \frac{\varepsilon}{r_s \varphi}\right). \quad (6)$$

Die Radreibung hat also zur Folge, dass der Stufendruckanstieg bei Beachtung der Euler'schen Vorschrift  $\Delta p_{st}^*$  = const angenähert linear mit der Entfernung von der Radaxe abfällt.<sup>4)</sup>

Der Unterschied zwischen dem mittleren Stufendruckanstieg  $\overline{\Delta p_{st}}$  und dem totalen Druckanstieg  $\Delta p_{tot}$  (Abb. 1) ist durch den „Saugrohr-Wirkungsgrad“  $\eta_s$  bestimmt. Er gibt an, welcher Bruchteil des im Einlauf theoretisch erlittenen Druckverlustes  $\frac{\rho}{2} c_m^2$  im Saugrohr zurückgewonnen wird<sup>5)</sup>:

$$\overline{\Delta p_{st}} - \Delta p_{tot} = (1 - \eta_s) \frac{\rho}{2} \varphi^2 u^2 \dots \dots \dots (7)$$

2. *Die Verluste.* Der für eine vorgeschriebene Leistungsabgabe  $N$  des Gebläses erforderliche Leistungsaufwand  $N'$  (= von den Flügeln an das Gas abgegebene Leistung) wächst mit den Verlusten, worunter im Folgenden der Quotient  $V = (N' - N) : N$  verstanden werden soll. Man kann die Verluste in zwei Bestandteile, die „kinetischen“ und

<sup>4)</sup> Vergl. die Messungen von Keller, l. c. S. 155, 159, 160.

<sup>5)</sup> Zur Vereinfachung setzen wir die Geschwindigkeit am Anfang und am Ende des Gebläses gleich null.

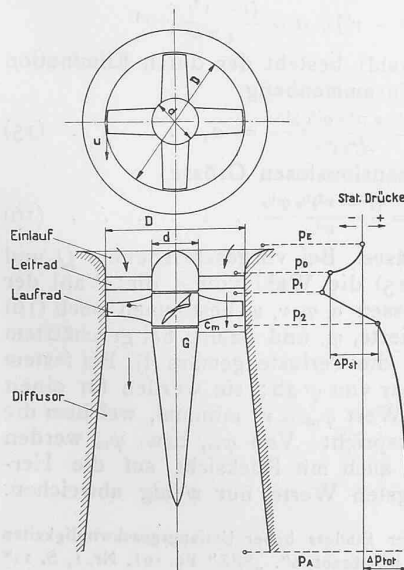


Abb. 1. Schema eines Axialgebläses mit Diffusor, Anordnung Leitrad-Laufrad.

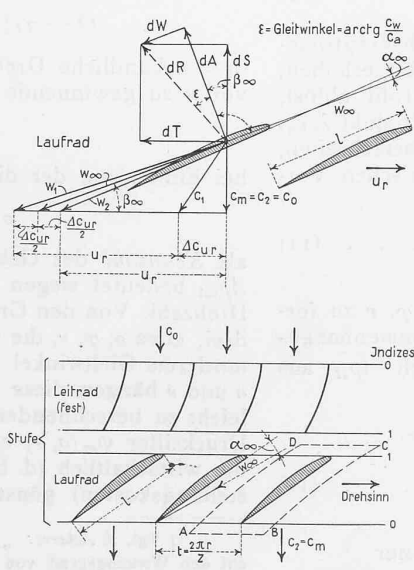


Abb. 2. Schema einer Gebläsestufe (Leitrad-Laufrad) mit zugehörig. Geschwindigkeitsplan.

die „Radreibungs“-Verluste zerlegen: Die vom ganzen Gebläse abgegebene Leistung  $N$  ist kleiner als die von der Stufe Leitrad-Laufrad gelieferte Leistung  $N_{st}$ , weil die im Einlauf gewonnene kinetische Energie sich im Saugrohr nur unvollkommen in Druckenergie zurückverwandeln lässt. Daher die *kinetischen Verluste*

$$V_k = \frac{N_{st} - N}{N}$$

Sie lassen sich mit Rücksicht auf (7) als Funktion des Liefergrades und der Druckziffer  $\psi = 2 \Delta p_{tot} / \rho u^2$  schreiben, da die Förderleistungen der Stufe und des Gebläses sich zu einander wie  $\Delta p_{st}$  zu  $\Delta p_{tot}$  verhalten:

$$V_k = (1 - \eta_s) \frac{\varphi^2}{\psi} \dots \dots \dots (8a)$$

Wegen der Radreibung ist ferner die von den Flügeln an das Gas abgegebene Leistung  $N'$  grösser als  $N_{st}$ , entsprechend den *Radreibungsverlusten*

$$V_r = \frac{N' - N_{st}}{N}$$

Die elementare Förderleistung  $dN_{st}$  durch eine Ringfläche von der Breite  $dr$  im Axabstand  $r$  ist nach (6)

$2 \pi r dr c_m \Delta p_{st}^* \left(1 - \frac{\varepsilon}{r_s \varphi} r\right)$ , während die elementare Leistung  $dN'$ , welche die über dem selben Kreisring gelegenen Flügelemente an das Gas abgeben, nach dem Impulsatz, angewandt auf unsere rotationsfreie Ersatzbewegung, sich zu  $2 \pi r dr \rho c_m \Delta c_{ur} u_r$  oder  $2 \pi r dr c_m \Delta p_{st}^*$  ergibt. Die Radreibungsverluste bekommt man aus der integrierten Differenz:

$$NV_r = 2 \pi c_m \Delta p_{st}^* \frac{\varepsilon}{3 \varphi} r_s^2 (1 - \nu^2)$$

(*Nabenverhältnis*  $\nu = r_\nu / r_s$ ,  $r_\nu =$  Radius der Nabe). Wegen  $N = \pi c_m r_s^2 (1 - \nu^2) \Delta p_{tot}$  und der aus (7) mit  $\Delta p_{st} \cong \Delta p_{st}^*$  folgenden Beziehung

$$\frac{\Delta p_{st}^*}{\Delta p_{tot}} = 1 + \frac{(1 - \eta_s) \varphi^2}{\psi} \dots \dots \dots (9)$$

wird

$$V_r = \frac{2 \varepsilon}{3 \varphi} \frac{(1 - \nu^2)}{(1 - \eta_s)} \left(1 + \frac{(1 - \eta_s) \varphi^2}{\psi}\right) \dots \dots \dots (8b)$$

Die Gesamtverluste  $V$  sind

$$V(\psi, \varphi, \nu) = V_k + V_r \dots \dots \dots (I)$$

3. *Die Nabenbedingung.* Zur Vermeidung schädlicher Beeinflussungen durch Nachbarflügel soll das Ueberdeckungsverhältnis  $\lambda$ , d. h. das Verhältnis der Profiltiefe  $l$  zur Gitterteilung  $t$  (Abb. 2) nicht zu gross sein.  $\lambda$  ergibt sich aus dem Vergleich der beiden Ausdrücke (2) und (4) für die Zirkulation:

$$\lambda_r = \left(\frac{l}{t}\right)_r = \frac{2 \Delta c_{ur}}{c_{ar} w_{\infty r}} \dots \dots \dots (10)$$

Der Auftriebskoeffizient  $c_a$  lässt sich aber (durch Vergrösserung des Anstellwinkels  $\alpha_\infty$ , Abb. 2) nicht beliebig erhöhen, ohne dass sich die Strömung vom Flügelprofil ablöst, wobei der Profilverstand emporschnellt. Das Produkt  $\lambda_r c_{ar}$  darf daher einen gewissen Grenzwert  $c$  nicht überschreiten, auch nicht an der Nabe, wo nach der Euler'schen Vorschrift (1)  $\Delta c_{ur}$  am grössten wird:

$$\frac{\Delta c_{ur}}{w_{\infty r}} \leq \frac{c}{2} \dots \dots \dots (11)$$

(Der Index  $\nu$  bezieht sich auf die Nabe.)

Um diese Bedingung in den Gebläsedaten  $\psi, \varphi, \nu$  zu formulieren, bedient man sich des genannten Zusammenhanges (1), in dem man näherungsweise  $\Delta p_{st}^*$  durch  $\Delta p_{st}$  aus Gl. (7) ersetzt:

$$\Delta c_{ur} = \frac{1}{\rho u_r} \left[ \Delta p_{tot} + (1 - \eta_s) \frac{\rho}{2} \varphi^2 u^2 \right] = \frac{r_s u}{2 r} [\psi + (1 - \eta_s) \varphi^2] \dots \dots \dots (12)$$

( $u_r = r u / r_s$ ).

Nach dem Geschwindigkeitsplan Abb. 2 ist ferner

$$w_{\infty r}^2 = c_m^2 + \left(u_r + \frac{\Delta c_{ur}}{2}\right)^2 = \left[\varphi^2 + \left(\frac{r}{r_s} + \frac{\Delta c_{ur}}{2 u}\right)^2\right] u^2 \dots \dots \dots (13)$$

An der Nabe ( $r = \nu r_s$ ) ergeben diese Werte, in (11) eingesetzt:

$$N(\psi, \varphi, \nu) = \frac{\psi + (1 - \eta_s) \varphi^2}{\sqrt{\varphi^2 + \left(\nu + \frac{\psi + (1 - \eta_s) \varphi^2}{4 \nu}\right)^2}} \frac{1}{\nu} \leq c \dots \dots \dots (II)$$

4. *Die Flügelspitzenbedingung.* Mit Annäherung an die Schallgeschwindigkeit macht sich der Einfluss der Kompressibilität schädlich bemerkbar<sup>6)</sup>, weshalb im Interesse des Wirkungsgrades die grösste Relativgeschwindigkeit  $w_{max}$  einen gewissen, unter der Schallgeschwindigkeit gelegenen Grenzwert  $a$  auch an der Flügelspitze nicht überschreiten soll:

$$w_{max} \leq a$$

Auch diese Bedingung lässt sich durch die Gebläsedaten ausdrücken. Bei Annahme einer elliptischen Verteilung der Relativgeschwindigkeit über ein dünnes Profil ist die Zirkulation nämlich einerseits zu  $\pi (w_{max} - w_\infty)$ , andererseits nach Gl. (4) zu  $c_a w_\infty$  proportional; Gleichsetzung liefert an der Flügelspitze (Index  $s$ ) mit Rücksicht auf (10):

$$w_{max} = w_{\infty s} \left(1 + \frac{c_a s}{\pi}\right) = w_{\infty s} + \frac{2}{\pi \lambda_s} \Delta c_{us}$$

Setzt man hierin die Werte aus (12) und (13) mit  $r = r_s$  ein, so erhält man,  $\varphi^2$  gegenüber 1 vernachlässigend, die Bedingung

$$u \left\{ 1 + \left(\frac{1}{4} + \frac{1}{\pi \lambda_s}\right) [\psi + (1 - \eta_s) \varphi^2] \right\} \leq a$$

Da  $u = \sqrt{2 \Delta p_{tot} / \rho \psi}$  und  $(1 - \eta_s) \varphi^2 \ll \psi$ , kann man die Flügelspitzenbedingung auch so formulieren:

$$F(\psi, \lambda_s) = \frac{1 + \frac{\psi}{\pi \lambda_s}}{\sqrt{\psi}} \leq k \dots \dots \dots (III)$$

$$k = \frac{a}{\sqrt{2 \Delta p_{tot} / \rho}}$$

Abb. 3 gibt in der  $\psi, \lambda_s$ -Ebene einige Kurven  $F(\psi, \lambda_s) = \text{const.}$  wieder. Ist z. B.  $k = 2$ , so bedeutet die Flügelspitzenbedingung, dass den zulässigen Wertepaaren  $\psi, \lambda_s$  jene Punkte in der  $\psi, \lambda_s$ -Ebene entsprechen, die auf der einen (durch Schraffur hervorgehobenen) Seite der Kurve  $F(\psi, \lambda_s) = 2$  liegen.

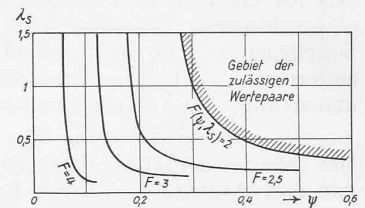


Abb. 3. Flügelspitzenbedingung für  $k = 2$ .

5. *Dimensionierung.* Zwischen der totalen Druckerhöhung

$$\Delta p_{tot} = \psi \frac{\rho}{2} u^2 \dots \dots \dots (14)$$

und dem sekundlichen Fördervolumen

$$Q = \pi r_s^2 (1 - \nu^2) \varphi u = \frac{(1 - \nu^2) \varphi}{4 \pi n^2} u^3$$

( $n =$  sekundliche Drehzahl) besteht der durch Elimination von  $u$  zu gewinnende Zusammenhang

$$\frac{Q^{1/2} n \pi^{1/2} \varphi^{3/2} 2^{1/4}}{\Delta p_{tot}^{3/4}} = \sigma, \dots \dots \dots (15)$$

bei Einführung der dimensionslosen Grösse

$$\sigma = \frac{(1 - \nu^2)^{1/2} \varphi^{1/2}}{\psi^{3/4}} \dots \dots \dots (16)$$

als *Kennzahl* des Gebläses. Bei vorgeschriebenem  $Q$  und  $\Delta p_{tot}$  bedeutet wegen (15) die Wahl von  $\sigma$  die Wahl der Drehzahl. Von den Grössen  $\sigma, \varphi, \nu, \psi$  bestimmen nach (16) drei, etwa  $\sigma, \varphi, \nu$ , die vierte,  $\psi$ , und damit, bei geschätztem mittlerem Gleitwinkel  $\varepsilon$ , die Verluste gemäss (1). Bei festem  $\sigma$  und  $\nu$  hängen diese nur von  $\varphi$  ab; sie werden für einen leicht zu berechnenden Wert  $\varphi_m(\sigma, \nu)$  minimal, welchem die Druckziffer  $\psi_m(\sigma, \nu)$  entspricht. Von  $\varphi_m$ , bzw.  $\psi_m$  werden die wirtschaftlich (d. h. auch mit Rücksicht auf die Herstellungskosten) günstigsten Werte nur wenig abweichen.

<sup>6)</sup> Vgl. J. Ackeret: „Der Einfluss hoher Umfangsgeschwindigkeiten auf den Wirkungsgrad von Luftschrauben“, „SBZ“ Bd. 101, Nr. 1, S. 11\* (7. Januar 1933).

<sup>7)</sup> Keller, l. c. S. 51.

Setzt man sie in die Nebenbedingung (II) ein, so wird diese zu einer Bedingungsungleichung zwischen  $\sigma$  und  $\nu$ :

$$N[\psi_m(\sigma, \nu), \varphi_m(\sigma, \nu), \nu] = L(\sigma, \nu) \leq c.$$

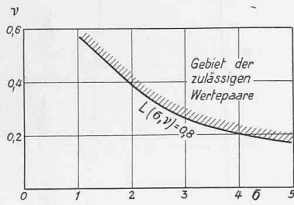


Abb. 4. Nebenbedingung für  $\eta_s = 0,8$ ,  $\varepsilon = 0,03$  und  $c = 0,8$ .

In der  $\sigma, \nu$ -Ebene liegen also die den zulässigen Wertepaaren zugeordneten Punkte auf einer Seite der Grenzkurve

$$L(\sigma, \nu) = c \quad (17)$$

Sie ist in Abb. 4 für  $\eta_s = 0,8$ ,  $\varepsilon = 0,03$  und  $c = 0,8$  aufgetragen.

Die Dimensionen des Gebläses werden offenbar umso geringer, je kleiner man  $\nu$

wählt. Desto kleiner werden aber auch, bei gegebener Kennzahl  $\sigma$ , die aus (I) mit  $\varphi = \varphi_m(\sigma, \nu)$ ,  $\psi = \psi_m(\sigma, \nu)$  resultierenden Verluste.<sup>8)</sup> Man wird also bei vorgegebenem  $\sigma$  das entsprechend der Kurve (17) kleinstzulässige  $\nu$  aussuchen. Damit sinkt die Zahl der freien Variablen auf zwei, etwa  $\sigma$  und  $\varphi$ : Aus  $\sigma$  folgt  $\nu$  nach (17), aus  $\sigma, \nu$  und  $\varphi$  nach (16) die Druckziffer  $\psi$ .

Setzt man (nach angenommenem Saugrohr-Wirkungsgrad und Gleitwinkel)  $\nu$  als Funktion von  $\sigma$ ,  $\psi$  als solche von  $\sigma$  und  $\varphi$  in (I) ein, so wird  $V$  zu einer Funktion von  $\sigma$  und  $\varphi$ . In Abb. 5 sind einige Niveaulinien der theoretischen Fläche  $V(\sigma, \varphi)$  eingetragen.

Sie bildet über dem in Betracht fallenden Bereich des  $\sigma, \varphi$ -Quadranten eine sich gegen oben links senkende Mulde, deren Umriss bei Beleuchtung parallel zur  $\varphi$ -Axe in der Projektion auf die  $\sigma, \varphi$ -Ebene als die strich-punktierte eingezeichnete Kurve  $\varphi_m(\sigma)$  erscheint. Diese Kurve liefert zu jedem  $\sigma$  jenen

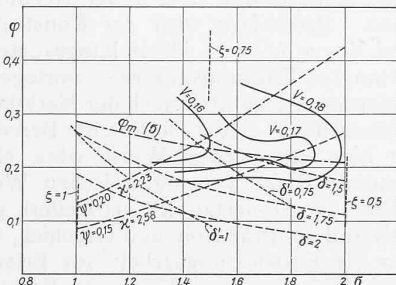


Abb. 5. Verluste  $V$ , Druckziffer  $\psi$ , bezogene Umfangsgeschwindigkeit  $z$ , bez. Raddurchmesser  $\delta$ , bez. Nabendurchmesser  $\delta'$ , bez. Zirkulationszahl  $\zeta$  in Funktion der Kennzahl  $\sigma$  und des Liefergrades  $\varphi$ . Kurve minimaler Verluste  $\varphi_m(\sigma)$ . Vorausgesetzt:  $\eta_s = 0,8$ ,  $\varepsilon = 0,03$ .

Wert  $\varphi_m$ , der die Verluste minimal macht. Die Existenz eines solchen Minimums rührt davon her, dass, während bei festem  $\sigma$  mit abnehmendem  $\varphi$  zwar die kinetischen Verluste gemäss (8a) und (16) sinken, der Einfluss des Liefergrades auf die Reibungsverluste ein doppelter ist: Diese sind nach dem Obigen proportional dem Quotienten  $\Delta p_{st}^*/\varphi$ , der gemäss (9) und (16) mit sinkendem  $\varphi$  zunächst ab-, dann aber wieder zunimmt. — Infolge der gemachten Vereinfachungen übertreffen die wirklichen die nach (I) berechneten theoretischen Verluste; in dem unten angeführten Beispiel um etwa 15% des theoretischen Wertes.

Von der in unsrer Darstellung nach links oben ansteigenden Fläche  $\psi(\sigma, \varphi)$  sind in Abb. 5 zwei Niveaulinien eingezeichnet. Es sind zugleich Niveaulinien der Fläche  $z(\sigma, \varphi)$ , wenn gemäss (14) mit

$$z = \frac{1}{\sqrt{\psi}} = \frac{u}{\sqrt{2 \Delta p_{tot}/\rho}} \quad (18)$$

die auf die Geschwindigkeit  $\sqrt{2 \Delta p_{tot}/\rho}$  bezogene Umfangsgeschwindigkeit bezeichnet wird. Diese Fläche fällt gegen links oben zu ab.

Von Interesse ist auch, wie sich der Raddurchmesser

$$2r_s = \frac{u}{\pi z} \quad (19)$$

oder, besser, der auf die Strecke  $\sqrt{2^{3/2} Q \rho^{1/2} / \pi \Delta p_{tot}^{1/2}}$  bezogene Durchmesser  $\delta$  mit  $\sigma$  und  $\varphi$  ändert. Nach (19), (18) und (15) ist

$$\delta = \frac{2r_s}{\sqrt{0,9 Q \rho^{1/2} / \Delta p_{tot}^{1/2}}} = \frac{z}{\sigma} \quad (20)$$

Bei Fortschreiten längs einer Linie konstanter Umfangsgeschwindigkeit  $z$  in Richtung fallender Drehzahl  $\sigma$  nimmt der Durchmesser zu; daher der durch einige Niveaulinien veranschaulichte Anstieg der Fläche  $\delta(\sigma, \varphi)$  gegen die links unten gelegenen Punkte unseres Quadranten hin.  $\delta' = \nu \delta$  ist der auf die selbe Strecke bezogene Nabendurchmesser. Die Fläche  $\delta'(\sigma, \varphi)$  ist in Abb. 5 durch zwei Niveaulinien angedeutet.

Das Produkt aus Zirkulation und Flügelzahl folgt angenähert aus (3) und (9) zu

$$\Gamma z = \frac{\Delta p_{tot}}{\rho n} \left( 1 + \frac{(1 - \eta_s) \varphi^2}{\psi} \right),$$

oder, auf die Zirkulation  $\sqrt{2^{1/2} \pi Q \Delta p_{tot}^{1/2} / \rho^{1/2}}$  bezogen, zu

$$\zeta = \frac{\Gamma z}{\sqrt{4,45 Q \Delta p_{tot}^{1/2} / \rho^{1/2}}} = \frac{1 + \frac{(1 - \eta_s) \varphi^2}{\psi}}{\sigma} \quad (21)$$

Auch die Gestalt der Fläche  $\zeta(\sigma, \varphi)$  geht aus drei in Abb. 5 skizzierten Niveaulinien hervor; bei Gleichsetzung von  $\Delta p_{st}^*$  mit  $\Delta p_{tot}$  wäre sie ein Zylinder, die Niveaulinien Geraden parallel zur  $\varphi$ -Axe. Da es uns hier nur auf das Prinzipielle ankommt, genüge diese ungefähre Kennzeichnung der Fläche  $\zeta(\sigma, \varphi)$ . Zur praktischen Berechnung der Flügelprofile genügt sie nicht; für diese ist in Gl. 3  $\Delta p_{st}^*$  durch einen genaueren, die Radreibungseinflüsse berücksichtigenden Wert zu ersetzen<sup>9)</sup>.

Eine genauere Darstellung der verschiedenen, in Abbildung 5 nur skizzierten Flächen würde erschöpfenden Aufschluss darüber geben, wie sich unter den gemachten Voraussetzungen, bei beliebig vorgeschriebenem  $Q$  und  $\Delta p_{tot}$ , die Hauptkonstruktionsdaten — abgesehen von der noch freibleibenden Flügelzahl — mit der Kennzahl und dem Liefergrad ändern. Mit der Wahl dieser Grössen ist auch der Geschwindigkeitsplan in jedem Radius festgelegt, nicht bloss  $u_r$  und  $c_m = \varphi u$ , sondern auch die durch (1) und angenähert durch (9) — genauer durch eine verbesserte Beziehung<sup>9)</sup> — bestimmte Geschwindigkeitsumlenkung  $\Delta c_{cur}$  und damit die mittlere Anströmgeschwindigkeit  $w_{\infty}$ .

Nach Wahl von  $\sigma$  und  $\varphi$ , und damit von  $\zeta$ , ist die Zirkulation  $\Gamma$ , und damit das in (4) auftretende Produkt  $(c_a l)_r$ , umgekehrt proportional zur Flügelzahl  $z$ . Ist auch diese gewählt, so kann das gemäss (5) in jedem Radius festgelegte Produkt  $c_a l$  innerhalb der durch Formgebung, Festigkeit, Ablösungsgefahr und die Bedingung (III) gezogenen Schranken auf den Auftriebskoeffizienten  $c_a$  und die Profiltiefe  $l$  verteilt werden<sup>10)</sup>. Nach Wahl eines geeigneten Profils folgt der jeweilige Anstell- und Gleitwinkel aus dem in den Profilbüchern dafür niedergelegten Zusammenhang zwischen Anstellwinkel, Auftrieb und Widerstand.

Mit Rücksicht auf die Herstellungskosten wird man die Flügelzahl tunlichst klein wählen. Allerdings kann man die Verringerung von  $z$  schon deshalb nicht zu weit treiben, weil die dadurch bedingte Steigerung der Zirkulation, d. h. der Flügeltiefe  $l$ , den einzelnen Flügel schwerer macht.

Der Nutzen einer Uebersicht in der Art von Abb. 5 für den Konstrukteur wird von seiner Kenntnis des Einflusses der verschiedenen Grössen auf die Herstellungskosten abhängen. Eine solche Kenntnis wird ihm, bei gegebener Drehzahl  $\sigma_1$ , eine Abschätzung der durch ein Abweichen von dem Punkte  $\varphi_m(\sigma_1)$  — dem Punkt geringster Verluste — zu gewinnenden Kostenersparnis erlauben. Oder auch, bei Verharren auf der Kurve  $\varphi_m(\sigma)$  minimaler Verluste, eine Abschätzung der Verteuerung des Rades, mit welcher die aus einer niedrigeren Drehzahl zu holende Verbesserung des Wirkungsgrads erkauft wird.

Ein ausgeführtes, in der erwähnten Dissertation eingehend berechnetes Luftgebläse<sup>11)</sup> (Abb. 6) möge das Gesagte verdeutlichen. Es ist für 4,6 m<sup>3</sup>/sec Fördervolumen und 78,5 mm WS bei 2880 U/min = 48 U/sec gebaut. Mit  $\rho = 0,12 \text{ kg m}^{-3} \text{ sec}^2$  wird nach (15)  $\sigma = 1,7$ . Gemäss Abb. 4 wäre ein Nebenverhältnis von 0,44 noch zulässig;

<sup>9)</sup> Siehe Keller, I. c., S. 16.

<sup>10)</sup> Ein Beispiel die Berechnungen Kellers, I. c., S. 121, zu dem in Abb. 7 wiedergegebenen Flügel.

<sup>11)</sup> Rad No. 3, I. c., S. 115 fg.

<sup>8)</sup> Siehe Keller, I. c., S. 41 fg.

gewählt wurde  $\nu = 0,458$ . Der gewählte Liefergrad  $\varphi = 0,23$  liegt nach Abb. 5 etwas über  $\varphi_m$ . Nach (16) wird die Druckziffer  $\psi = 0,16$ , woraus nach (18)  $\kappa = 2,5$  und nach (20)  $\delta = 1,47$  folgt, entsprechend einem Raddurchmesser von 0,598 m, ausgeführt zu 600 mm, und einem Nabendurchmesser von 0,275 m, ausgeführt zu 280 mm. Die Umfangsgeschwindigkeit beträgt demnach 90,4 m/sec. Da die in (III) auftretende Schranke  $k$  sich mit  $a = 300$  m/sec zu 8,3 berechnet, ist die Flügelspitzenbedingung, wie ein Blick auf Abb. 3 lehrt, für jedes praktisch denkbare Verhältnis  $\lambda_s$  längstens erfüllt. Die Grössen  $\Delta p_{st}$ ,  $\Delta c_{ur}$  und  $\zeta$  würden, nach (9), bzw. (1) und (21) berechnet, um rd. 12 % zu klein. Mit einem korrigierten Wert von  $\Delta p_{st} = 92$  mm WS wird  $\zeta = 0,69$  und  $\Gamma_s = 15,6$ . Bei der gewählten Flügelszahl  $z = 10$  hat demnach jeder Flügel eine Zirkulation von 1,56 m<sup>2</sup>/sec zu bewältigen. Abb. 7 veranschaulicht das Ergebnis der weiteren Berechnung und Auswahl, auf deren Einzelheiten schon in Anm. 10 verwiesen wurde. — Unter den vorgeschriebenen Umständen erreichte das Gebläse den Gesamtwirkungsgrad  $\eta = 0,837$ , entsprechend  $V = 1/\eta - 1 = 0,195$ , gegenüber dem nach Abb. 5 zwischen 0,16 und 0,17 liegenden theoretischen Wert.<sup>12)</sup>

6. *Bemerkung.* Diese Ausführungen sollen nicht etwa zeigen, wie man eine neue Maschine „errechnen“ kann — das kann man nicht —, sondern nur, wie

<sup>12)</sup> Keller, I. c., S. 132, Abb. 92. Die Abweichung rührt wesentlich von der Vernachlässigung der Spaltverluste her.

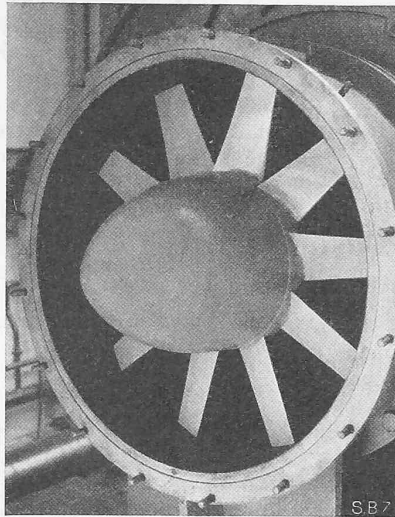


Abb. 6. Propellertyp-Laufrad für 4,6 m<sup>3</sup>/sec Luft und 78,5 mm WS Druckerhöhung bei 2880 U/min. Bauart Escher Wyss.

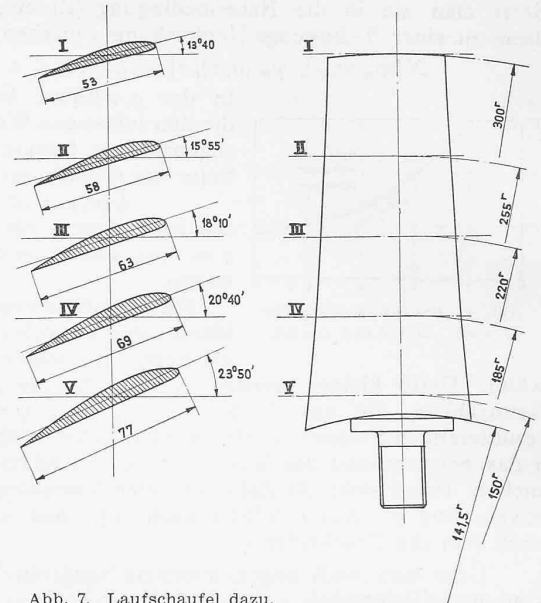


Abb. 7. Laufschaufel dazu.

man einen, wenigstens in der Idee, schon vorhandenen Maschinentyp mit Hilfe einer Rechnung zweckmässig bemisst. Bestenfalls wird der Konstrukteur dem Kaufmann eine Kurve  $K(\eta)$  — Herstellungskosten  $K$  in Funktion des verlangten Wirkungsgrades — vorlegen können mit der Anforderung, darauf den nach der Marktlage passendsten Punkt auszusuchen. — Aber auch eine Berechnung *après coup* in der hier entworfenen Weise wäre ohne eine bereits feststehende Reihe von numerischen Werten und Annahmen hilflos. Die Dissertation Curt Kellers gibt ein Bild von dem Aufwand an Präzision und Geschick, wie ihn vorliegendenfalls die Entwicklungsarbeit zur Erlangung dieser numerischen Werte und zur Kontrolle dieser Annahmen in einem modernen Laboratorium erheischt.

K. H. Grossmann.

## Die Anwendung der Stereophotogrammetrie bei Architekturaufnahmen

von M. ZURBUCHEN, Grundbuchgeometer, Bern

Aus einem Referat, gehalten an der diesjährigen Hauptversammlung der Schweiz. Gesellschaft für Photogrammetrie in Bern

Die architektonische Vermessung und zeichnerische Darstellung eines bestehenden Bauwerkes ist keine einfache Sache und umso schwieriger, je detaillierter der Aufbau und je unzugänglicher das darzustellende Objekt ist. Die Einmessungen mit Schnurgerüsten, mit Messband, Senkel und Meter, und besonders die notwendige Gerüsterstellung dazu sind sehr kostspielig und lassen an Genauigkeit oft zu wünschen übrig, vielleicht weniger in den Einzelheiten als in den Hauptmassen.

Schon Meister wie Leonardo da Vinci, Michelangelo und Raffael haben sich mit der Aufnahme und zeichnerischen Darstellung der antiken Bauwerke befasst. 8000 Originalzeichnungen, die in der Galleria degli Uffizi in Florenz aufbewahrt sind, zeugen von der Wichtigkeit, die sie der masstäblichen Wiedergabe der dem Zerfall geweihten Bauwerke beilegen. Was für eine gewaltige Arbeit in diesen Aufnahmen steckt, kann nur der ermesen, der selber ähnliche Arbeiten ausgeführt hat.

Mit dem Aufkommen der Photographie und damit auch der Photogrammetrie hat sich die Architekturvermessung bedeutend vereinfacht, zuerst mit Hilfe wilder Photographien, später mit fest orientierten Photogrammen.

Es war besonders der Architekt Meydenbauer in Deutschland, der schon 1858 die ersten photogrammetrischen Architekturaufnahmen ausführte und später als Leiter der königlich preussischen Messbildanstalt mehr als tausend Objekte systematisch aufnahm. Diese bisherigen Aufnahmen werden noch heute nach der von Meydenbauer entwickelten graphischen Methode, der sogenannten Messtischphotogrammetrie, ausgewertet.

Von zwei photographischen, nach Lage und Höhe genau bestimmten Stationen aus werden stark konvergente Aufnahmen der selben Bauteile gemacht, aus den Photographien Horizontal- und Höhenwinkel entnommen und so identische Punkte

auf graphischem Wege vorwärts eingeschnitten. Es werden also nur Einzelpunkte konstruiert; gebogene Linien müssen durch mehrere Punkte dargestellt werden. Die photogrammetrischen Stationen, die um ein aufzunehmendes Gebäude herum gelegt werden, sind durch einen Polygonzug miteinander verbunden, ebenso sind einige notwendige Kontrollpunkte am Gebäude durch Täfelchen signalisiert und an das Polygon angeschlossen.

Als Vorteile gegenüber der direkten Einmessung mit dem Masstab sind zu nennen: das Wegfallen der teuren Einrüstung, Erhöhung der Genauigkeit, verhältnismässige Raschheit, Festhaltung des Baues durch die übersichtlichen photographischen Bilder und damit die Möglichkeit einer scharfen Trennung der Aufnahme- und der Planarbeiten.

Wie sich seinerzeit die Messtischphotogrammetrie für die Darstellung des Geländes zur Stereophotogrammetrie entwickelt hat, dank dem Stereokomparator von Puifrich und den späteren automatischen Auswertegeräten, so lässt sich nun auch in der Architekturphotogrammetrie der gleiche Weg beschreiten, mit dem Ergebnis einer erneuten Vereinfachung, d. h., Verkleinerung des Arbeitsaufwandes, Erhöhung der Zuverlässigkeit (Fehlerrückmeldung auf ein Minimum), und Steigerung der Genauigkeit. Ein grosser Vorteil ist im besonderen die Möglichkeit der genauen Darstellung gebogener Linien von Ornamenten und Figuren durch kontinuierliche Linien.

Bereits wurden vereinzelte Arbeiten nach dem stereophotogrammetrischen Verfahren im Ausland ausgeführt. Ich erwähne nur die vollständige Aufnahme des Münsters in Konstanz, des Ramesseums in Aegypten und die Aufnahme des Löwendenkmals in Luzern.

Die Ausführung der hier näher beschriebenen Aufnahme der ehemaligen Hauptwache in Bern entsprang dem Wunsche,